

金沢大学工学部

三重県庁

北陸コンクリート(株)

正会員 ○石田 啓

渡辺公徳

松井輝峰

1. まえがき 柱状構造物の波浪応答を取り扱った研究は従来多数提示されていいが、その解析手法の多くは、構造物を一自由度系の振動モデルに置きえたものであり、これは、複雑な構造形態を有する海洋構造物に対しては、必ずしも適切ではない。一方、多質点系モデルによる構造解析手法のひとつとして、Pestel と Leckie¹⁾ などによるトランスファーマトリックス法があり、この手法を海洋構造物の振動解析に応用しようと試みたものに、Faicher ら²⁾ の研究があるが、外力である波力が正弦波に限られていないとう欠点があった。したがって、本研究では、一般的な海洋構造物の振動解析手法を確立するための第一段階として、トランスファーマトリックス法による柱状構造物の波浪応答解析法を確立し、円柱を用いた実験結果と比較してその妥当性を検討する。

2. 計算方法 図-1はモデル化した鉛直円柱であり、質点は質量のみで、梁は剛性のみを有する。今、質点に着目し、その上下のステートベクトル(タワミ、タワミ角、モーメント、セン断力)を成分とする複素ベクトル)を ξ_i^u および ξ_i^l と書くと、両者の関係は、ポイントマトリックス $[P]_i$ を介して、 $\xi_i^u = [P]_i \xi_i^l$ となり、また質点 i と $i-1$ の間の梁に着目すると、フィールドトランスファーマトリックス $[F]_i$ を介して、 $\xi_i^u = [F]_i \xi_{i-1}^u$ となる。両式より $\xi_i^u = [P]_i [F]_i \xi_{i-1}^u$ となるが、この操作を順次 A 点から B 点まで続行することにより、各点の変位を算出することができる。ここに $[P]_i$ および $[F]_i$ は、構造力学の知識より得られる複素行列である。次に、外力としては、相対速度を考慮したモリソン公式³⁾を使用することを妥当と考えられるか、抗力項から生じる変位速度の2乗項については、若干の検討の結果、ここでは無視し、また水粒子速度の2乗項は、マトリックス法に適合可能な形にするために、フーリエ級数に展開する方法を用いた。さらに慣性係数および抗力係数の値は、簡単のため、 $C_m = 2.0$ 、 $C_d = 1.0$ と固定した。

3. 実験装置および方法 実験は、金沢大学工学部土木工学科に設置された長さ 11m、幅 50cm、深さ 64cm の溢流水槽を用い、その中央に、長さ 60cm、直径 D = 3cm のウレタンゴム製円柱を設置した。円柱の振動変位は、非接触型変位計を用い、質点 6 の位置の変位を検出した。実験時の水深は 40cm とし、使用した波の周期は、T = 0.53 sec ~ 2.05 sec である。なら、円柱の比重は 1.12、ヤング率は E = 483 kg/cm² である。

4. 結果および考察 図-2は、周期 T = 5 sec、波高 H = 15 cm の波を用いた計算例であり、(a)は各位置におけるタワミ曲線、(b)は水面変動、(c)は柱頭部 B 点の変位の位相変化である。図より、波の峯側での変位は、谷側よりも大きいか、これは、峯側では、波力を受け範囲が長くなるためである。(c)より、変位の最大値は、 $\pi/T \approx 0.63$ であるとかわかるか、これは、抗力による変位が卓越していっているためである。

図-3(a)~(d)は、質点 6 の位置の変位の実験値と計算値との比較である。(a)、(b) および (c) では、両者はほぼ一致しており、この計算手法の妥当性を実証していると言えるか、(d) では両者の相違が著しい。この原因は、さらに検討を要するか、波高の大きい高周波の波であるために、固有振動が誘発され、混入したと考えられる。

図-4は、時間波形勾配 H/T を一定にした場合の、質点 6 の最大変位の計算結果である。図より、T = 0.42 sec の波により共振するとかわかるか、これは、静水中での円柱の固有振動数の測定値と一致してい。また、その3倍周期に対応する付近に小さなピークが見られるか、これは、フーリエ級数に展開した抗力項の第2項に起因すると考えられる。なら、計算方法の詳細はここでは省略したが、この手法を用いることにより、変位速度、非線形効果を考慮すること、あるいは、種々の境界条件を有する複雑な構造物を解析するなど、さらに高次の振動解析を行うことが可能である。

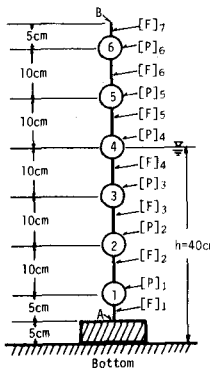
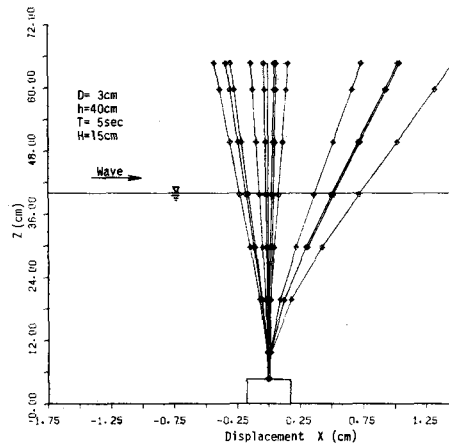
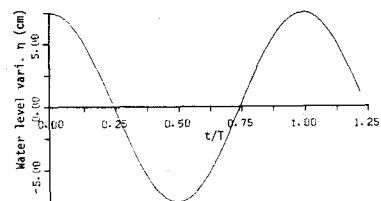


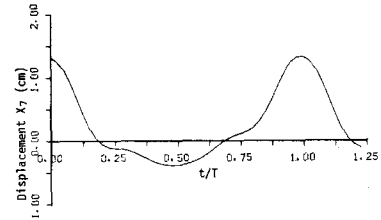
図-1 柱状構造物モデル



(a) タワニ曲線



(b) 水面変動



(c) B点の変位

図-2 マトリックス法による計算例

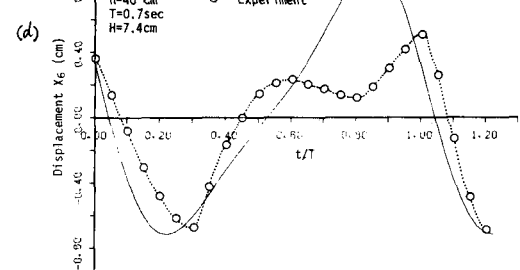
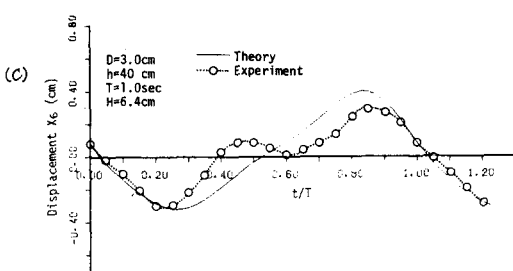
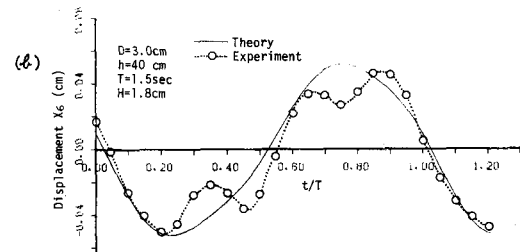
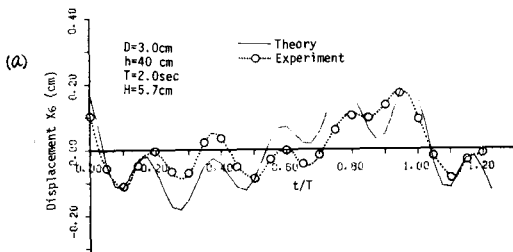


図-3 柱頂部の変位の時間変化

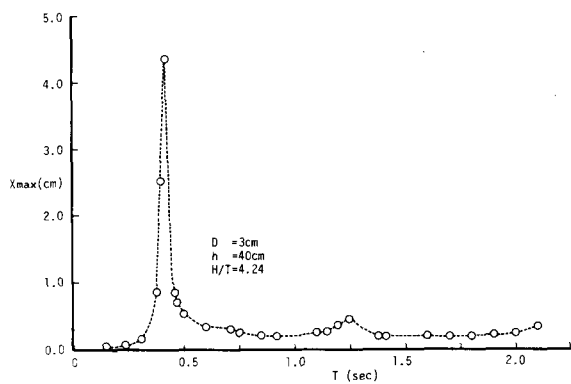


図-4 柱頂部の最大変位

謝辞 本研究の実験に際し、当該学部学生の中村茂君(真柄建設)、古川(アスル)了君(大成道路)の助力に、厚く謝意を表す。

参考文献

- 1) E.C. Pister and F.A. Leckie : Matrix methods in elastomechanics, McGraw-Hill, pp.1~143, 1963
- 2) W.S. Gaiter and D.P. Billington : The dynamic Response of offshore structures, Coastal Eng., pp.453~471,